

9. Край поглощения в области непрямых переходов и зонная структура сурьмянистого кадмия / Д. М. Берча, А. Н. Борец, Т. С. Гертович и др. // ФТТ. — 1970. — 12, вып. 8. — С. 2397—2406.
10. Жадько И. П., Романов В. А., Юров Ю. Г. О подвижности носителей тока в монокристаллах p -CdSb // УФЖ. — 1975. — 20, № 7. — С. 1212—1214.
11. Городецкий С. М., Жданович Н. С., Равич Ю. И. Аномальный фотомагнитный эффект в кремнии // ФТП. — 1973. — 7, вып. 7. — С. 1270—1279.
12. Бабичев Г. Г., Жадько И. П., Сердега Б. К. О спектральных характеристиках по-перечного дембровского и фотомагнитного эффектов в неоднородных полупроводниках // УФЖ. — 1977. — 22, № 9. — С. 1523—1529.
13. Бабичев Г. Г., Жадько И. П., Романов В. А. Экспериментальное исследование фотомагнитного эффекта в планарной p — n -структуре на основе InSb // Там же. — 1984. — 29, № 1. — С. 139—140.

Ин-т полупроводников АН УССР, Киев;
Черновиц. отд-ние Ин-та пробл. материаловедения АН УССР

Получено 01.04.88

УДК 539.143.43

Г. Н. Абеляшев, В. Н. Бержанский,
Н. А. Сергеев, Ю. В. Федотов

ИССЛЕДОВАНИЕ ДОМЕННОЙ СТРУКТУРЫ CdCr_2Se_4 МЕТОДОМ ЯМР

Доменная структура в объемных образцах хромовых халькогенидных шпинелей типа CdCr_2Se_4 практически не исследована. Даже в тех случаях, когда домены в монокристаллах CdCr_2Se_4 удавалось наблюдать [1], ориентация намагниченности \mathbf{M} в доменах не определялась. В принципе ее можно найти, используя экспериментальные значения констант магнитокристаллической анизотропии K_1 и K_2 [2]. Однако этот подход в применении к CdCr_2Se_4 встречает некоторые затруднения. С одной стороны, рекордная малость K_1 и K_2 для этой шпинели [3] может привести к тому, что существенную роль в определении равновесного направления \mathbf{M} будут играть магнитоупругие эффекты. С другой стороны, традиционные методы измерений K_1 и K_2 (методы ферромагнитного резонанса и торсионные) требуют помещения образца в насыщающее магнитное поле, что вследствие наличия в CdCr_2Se_4 иновалентных ионов Cr может приводить к эффектам аккомодации, изменяющим магнитное состояние исследуемых кристаллов. Многообразие факторов, которые могут обусловливать ориентацию \mathbf{M} в хромовых халькогенидных шпинелях в сочетании с их склонностью к образованию нестехиометрических кристаллов, могут приводить к появлению в одном и том же кристалле областей с осями легкого намагничивания различных типов, что еще больше осложняет определение ориентации \mathbf{M} , основанное на сопоставлении соответствующих магнитных параметров.

Прямыми и наиболее надежными методом определения ориентации \mathbf{M} в доменах объемных монокристаллов является метод ЯМР, поскольку структура спектров ЯМР зависит от взаимной ориентации \mathbf{M} и осей тензоров анизотропных сверхтонких взаимодействий (СТВ). Спектры ЯМР ^{53}Cr в CdCr_2Se_4 , полученные в работах [4, 5], представляли собой систему плохо разрешенных линий и интерпретировались на основе предположения о хаотическом распределении ориентации \mathbf{M} в доменах, обусловленном влиянием локальных напряжений. Однако проведенные нами исследования, опирающиеся на описанную ниже методику, позволяют утверждать, что намагниченность в доменах CdCr_2Se_4 ориентирована лишь в определенных кристаллографических направлениях и спектр ЯМР в доменах представляет собой систему хорошо разрешенных линий. Наблюдать такой спектр до сих пор не удавалось

из-за его перекрывания с широким и интенсивным спектром ЯМР в доменных границах (ДГ).

Наиболее ярким проявлением суперпозиционного характера спектра является двухкомпонентность сигнала эха, т. е. наличие в нем компонент с резко различающимися временами T_{2}^{*} (рис. 1, а). При этом компоненту сигнала эха с большим T_{2}^{*} естественно связать с вкладом внутридоменных ядер. Кроме того, в спектре имеются участки, где сигнал эха имеет обычную однокомпонентную форму (рис. 1, б).

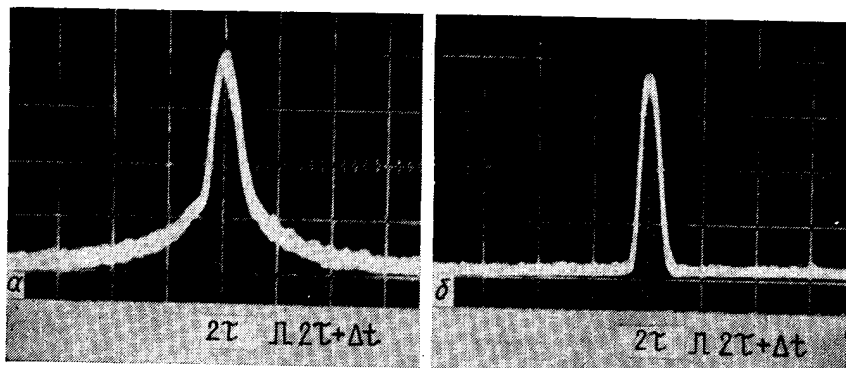


Рис. 1. Формы сигналов эха в CdCr_2Se_4 при возбуждении ядер ^{53}Cr в доменах и ДГ (а, $\nu=44,65$ МГц) и в ДГ (б, $\nu=44,90$ МГц) при $T=4,2$ К

Выделить внутридоменную компоненту спектра ЯМР обычным способом, используя различие T_2 для внутридоменных и внутриграницых ядер, не удается. Это различие оказалось не настолько велико, чтобы полностью подавить вклад ядер в ДГ. Поэтому в настоящей работе для такого выделения используется различие временных характеристик сигналов спинового эха T_{2}^{*} , рассматриваемых двух групп ядер [6].

В стандартной методике при записи спектров ЯМР методом спинового эха сигнал на вход накопителя попадает в момент времени, определяемый приходом стробирующего импульса, отпирающего ключевое устройство. Обычно этот импульс подается в момент времени 2τ , когда сигнал эха максимальен (τ — интервал времени между радиочастотными импульсами). При этом компоненты спектра не разделяются и он подобен полученному в работах [4, 5] (рис. 2, кривая 1). Но если подавать стробирующий импульс в момент времени $2\tau+\Delta t$, где Δt выбрано так, чтобы $T_{\text{2}}^{*\text{ДГ}} < \Delta t < T_{\text{2}}^{*\text{Д}}$, где $T_{\text{2}}^{*\text{Д}}$ и $T_{\text{2}}^{*\text{ДГ}}$ — времена релаксации в доменах и ДГ соответственно (рис. 1), то при этом будет выделена компонента спектра с большим T_{2}^{*} , обусловленная резонансом ядер в доменах.

Спектры ЯМР ^{53}Cr в CdCr_2Se_4 , полученные в таких условиях, приведены на рис. 2 (кривая 2). Анализ этих спектров позволяет определить ориентацию \mathbf{M} в доменах CdCr_2Se_4 , однако для этого необходимо

ν , МГц		
$\mathbf{M} \parallel [100]$	$\mathbf{M} \parallel [110]$	$\mathbf{M} \parallel [111]$
Расчет		
44,08	43,74; 44,64; 45,54	42,96; 44,76; 41,16
Эксперимент		
44,08	43,75; 44,65; 45,55	42,98; 44,78; —

знать константы СТВ ядер ^{53}Cr в этом кристалле. В данном случае эти константы определялись из анализа угловой зависимости частот ЯМР для монокристалла в насыщающем магнитном поле (рис. 3) на основе выражения [7]

$$\nu_{m,m-1} = \nu_0 + [\nu_a + \nu_q(m - 1/2)](3 \cos^2 \theta - 1), \quad (1)$$

где ν_0 , ν_a — изотропная и анизотропная константы магнитного СТВ, ν_q — константа квадрупольного СТВ, θ — угол между \mathbf{M} и осью ло-

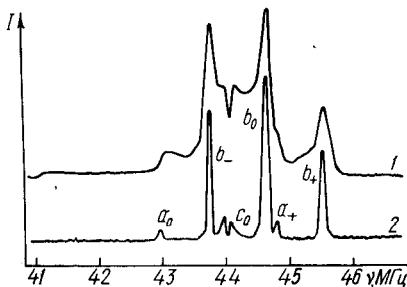
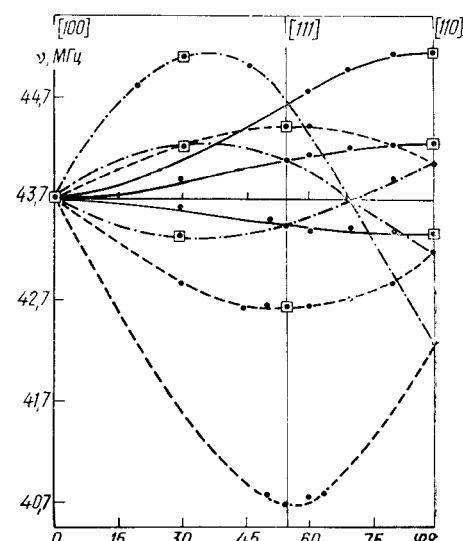


Рис. 2. Спектры ЯМР ^{53}Cr в CdCr_2Se_4 при $T = 4,2$ К, записанные по стандартной методике (1) и при условии $T_2^*\Delta\Gamma < \Delta t_k < T_2^*\Delta$ (2): линии a_0 , a_+ — фаза Φ_{111} ; b_- , b_0 , b_+ — Φ_{110} ; c_0 — Φ_{100}

Рис. 3. Угловые зависимости частот ЯМР ^{53}Cr в CdCr_2Se_4 при $T = 4,2$ К, $H = 2$ кЭ. Точки — эксперимент, φ — угол между \mathbf{M} и осью [100]. Плоскость вращения — (110), \square — частоты, соответствующие линиям в спектре поликристалла при $H = 0$



кальной симметрии [111] иона Cr^{3+} . В результате для констант СТВ получены следующие значения: $\nu_0 = 44,08$ МГц, $\nu_a = -0,56$ МГц, $|\nu_q| = 0,90$ МГц ($T = 4,2$ К).

Используя эти значения, можно рассчитать спектры ЯМР ^{53}Cr в доменах различных типов, ориентация \mathbf{M} в которых совпадает с кристаллографическими направлениями [100], [110] и [111] (в дальнейшем — магнитные фазы Φ_{100} , Φ_{110} и Φ_{111}). В таблице расчетные значения частот сопоставлены с полученными в наших экспериментах частотами ЯМР в доменах CdCr_2Se_4 . Следует отметить, что в спектрах ЯМР при $H = 0$ четко выражены лишь те линии, для которых $\partial\nu/\partial\theta = 0$ (рис. 3). Для них уширение, обусловленное разбросом ориентации \mathbf{M} , минимально. Из этих линий не наблюдается лишь низкочастотная линия фазы Φ_{111} с $\nu_{\text{расч}} = 41,16$ МГц, для которой вклад анизотропных СТВ особенно велик. По нашим оценкам [8] для исчезновения этой линии достаточно разброс ориентаций \mathbf{M} порядка 2—3°. Из таблицы следует, что при 4,2 К в CdCr_2Se_4 существуют все три фазы.

Поскольку на фазовой диаграмме кубического ферромагнетика, построенной с учетом только K_1 и K_2 , отсутствует область существования всех трех фаз [9], одновременное их существование в CdCr_2Se_4 можно объяснить лишь действием факторов, не учтенных на этой диаграмме. В первую очередь, это могут быть магнитоупругие взаимодействия и неоднородность образца по составу, влияние которых на относительное содержание магнитных фаз в CdCr_2Se_4 с малыми константами K_1 и K_2 может оказаться весьма существенным. При повышении температуры до 77 К гетерогенность сохраняется, но происходит перестройка доменной структуры. Фаза Φ_{100} исчезает, объем фазы Φ_{111} растет.

В магнитных кристаллах с малой константой магнитокристаллической анизотропии ориентацию оси легкого намагничения в доменах может определять магнитоупругая энергия. Наличие доминирующей фазы Φ_{110} в CdCr_2Se_4 может свидетельствовать о возникновении в многодоменном состоянии спонтанной магнитоупругонаведенной анизотропии с осью легкого намагничения типа [110]. Однако более вероятной причиной гетерофазности CdCr_2Se_4 нам представляется неоднородность исследуемых кристаллов по составу. В отличие от оксидных магнитных полупроводников (ферритов) CdCr_2Se_4 характеризуются стабильной кристаллической структурой при значительном отклонении их состава от стехиометрического. Наличие равновесных катионных и анионных вакансий приводит в результате компенсации валентности к появлению примесных комплексов, содержащих ионы Cr^{2+} и Cr^{4+} , в которых в отличие от ионов Cr^{3+} спин-орбитальное взаимодействие дает большой вклад в энергию магнитной анизотропии. Появление ионов Cr с валентностью, отличной от основной, существенно изменяет величину и знак констант магнитной кристаллографической анизотропии и магнитострикции. Существование ионов Cr^{2+} и Cr^{4+} , которое может приводить к магнитной гетерогенности CdCr_2Se_4 , отмечалось при исследовании параметрического [10] и ферромагнитного резонансов в насыщающем магнитном поле [11], что проявлялось в наличии дополнительных пиков на угловых зависимостях параметров затухания и резонансного поля. Существование ионов Cr^{2+} и Cr^{4+} возможно лишь в случае, когда эти ионы локализованы в различных областях кристалла, например вблизи дефектов, стимулировавших их образование.

РЕЗЮМЕ. Методом ЯМР на ^{53}Cr досліджено магнітний напівпровідник CdCr_2Se_4 при $H=0$, $H \neq 0$ і 4,2, 77 К. Показано, що при $H=0$ спектр ЯМР ^{53}Cr є суперпозицією внутрішньодоменних та внутрішньомежових спектрів. Запропоновано методику виділення сигналів від ядер у доменах, побудовану на використанні відміні часових характеристик сигналів лунні T_{*2} в доменах і доменних межах. Встановлено, що в багатодоменному стані при $H=0$ в CdCr_2Se_4 є магнітні фази Φ_{110} , Φ_{111} , Φ_{100} , намагніченість яких спрямована вздовж кристаллографічних осей типу [110], [111], [100] відповідно. Обговорюються можливі причини магнітної гетерогенності CdCr_2Se_4 .

SUMMARY. The magnetic semiconductor CdCr_2Se_4 has been investigated by NMR on the ^{53}Cr nuclei in external magnetic fields at 4.2 and 77 K. It has been demonstrated that in the zero fields the ^{53}Cr NMR spectrum is a superposition of the intradomain and intraboundary spectra. A method for separation of NMR signals from nuclei in the domains and boundaries, based on the difference of their echo-signal time responses T_{*2} is suggested. It has been found that in the multidomain state at $H=0$ the magnetic phases Φ_{110} , Φ_{111} and Φ_{100} exist in CdCr_2Se_4 , with their magnetizations directed along the crystallographic axes [110], [111] and [100], respectively. Possible reasons of the CdCr_2Se_4 magnetic heterogeneity are discussed.

1. Наблюдение доменной структуры в магнитном полупроводнике CdCr_2Se_4 / Р. А. Дорошенко, М. Н. Фарздинов, Л. И. Антонов и др. // ФТТ.—1979.—21, вып. 1.—С. 227—228.
2. Крупичка С. Физика ферритов и родственных им магнитных окислов : В 2 т.—М. : Мир, 1982.—Т. 2.—504 с.
3. Ferromagnetic resonance anisotropy in CdCr_2Se_4 / A. G. Gurevich, Y. M. Yakovlev, V. T. Karpovich et al. // Phys. Lett. A.—1972.—40, N 1.—P. 69—70.
4. Berger S. B., Budnick J. I., Burch T. J. NMR of ^{53}Cr and ^{77}Se in ferromagnetic chalcogenide spinels // J. Appl. Phys.—1968.—39, N 2.—P. 658—660.
5. Nuclear magnetic resonance and magnetization studies of CdCr_2Se_4 / G. N. Stauss, M. Rubinstein, J. Feinleib et al. // Ibid.—P. 667—668.
6. Абеляшев Г. Н., Бержанский В. Н., Федотов Ю. В. Магнитная гетерогенность ферромагнитных полупроводников на основе CdCr_2Se_4 // Письма в ЖЭТФ.—1987.—45, вып. 1.—С. 34—37.
7. Абрагам А. Ядерный магнетизм.—М. : Изд-во иностр. лит., 1963.—551 с.

8. Многоквантовые эффекты в ЯМР CdCr₂Se₄ / Г. Н. Абеляшев, В. Н. Бержанский, Н. А. Сергеев, Ю. В. Федотов // ЖЭТФ.— 1988.— 94, вып. 1.— С. 227—237.
9. Ориентационные переходы в редкоземельных магнетиках / К. П. Белов, А. К. Звездин, А. М. Кадомцева, Р. З. Левитин.— М.: Наука, 1979.— 317 с.
10. Продольная накачка спиновых волн в ферромагнетиках — хромовых халькогенидных шпинелях / А. Н. Анисимов, А. С. Шупоров, А. Г. Гуревич, Л. М. Эмирян // ЖЭТФ.— 1983.— 84, вып. 4.— С. 1407—1417.
11. Ферромагнитный резонанс в кристалле CdCr₂Se₄, легированном серебром / А. И. Байрамов, А. Г. Гуревич, В. И. Карпович и др. // ФТТ.— 1976.— 18, вып. 13.— С. 687—691.

Симферополь. ун-т им. М. В. Фрунзе;
Ин-т физики АН УССР, Киев

Получено 04.04.88

УДК 621.315.592

И. С. Горбань, С. Я. Шевченко, А. Д. Супрун

ВЛИЯНИЕ ОБЪЕМНОГО ЗАРЯДА НА ФОРМУ ПЕРЕХОДНОГО ПРОЦЕССА ПРИ ИЗМЕРЕНИЯХ ВРЕМЯПРОЛЕТНЫМ МЕТОДОМ

Особенности дрейфа малого заряда в высокоомных материалах в последние годы исследовались в большом числе экспериментальных и теоретических работ, направленных на выяснение механизмов проводимости и определение природы и параметров центров захвата в этих материалах. Форма импульса переходного тока при прохождении пакета носителей сквозь объем образца определяется большим числом факторов — энергетическим распределением состояний захвата [1, 2], соотношением времен жизни и пролета носителей сквозь слой [3], глубиной уровней захвата [4] и т. д. В то же время в большинстве экспериментальных работ по данной тематике практически не обсуждается влияние объемного заряда, хотя для получения выходного сигнала достаточно интенсивности, особенно при малой емкости образца, приходится инжектировать в его объем значительную часть поверхностного заряда. Цель настоящей работы — выяснить степень влияния объемного заряда на динамику дрейфующего пакета носителей и форму импульса переходного тока при высоких уровнях инжекции.

Для решения этой задачи использовалась численная модель, учитывающая пространственное распределение носителей заряда и позволяющая описывать электрические параметры высокоомного слоя при наличии сложных внешних воздействий [5—7]. Применение модели основано на решении системы дифференциальных уравнений, описывающих перенос заряда в высокоомном фотопроводнике при инжекции в его объем носителей одного знака:

$$\epsilon\epsilon_0 \frac{\partial E(x, t)}{\partial x} = q[n(x, t) + n_t(x, t)], \quad (1)$$

$$q \frac{\partial}{\partial t} [n(x, t) + n_t(x, t)] + \frac{\partial j_c(x, t)}{\partial x} = 0, \quad (2)$$

$$j_c(x, t) = q\mu n(x, t) E(x, t) - qD \frac{\partial n(x, t)}{\partial x}, \quad (3)$$

$$\begin{aligned} \frac{\partial n_t(x, t)}{\partial t} = & [N - n_t(x, t)] n(x, t) v S_t - \left[v S_t N_e \exp\left(-\frac{E_t}{kT}\right) + \right. \\ & \left. + S_f I \exp(-k_\pi x) \right] n_t(x, t), \end{aligned} \quad (4)$$